



[12] 发明专利说明书

专利号 ZL 01807041.8

[51] Int. Cl.

H03K 7/08 (2006.01)

H03M 1/82 (2006.01)

G02F 1/01 (2006.01)

[45] 授权公告日 2008 年 9 月 3 日

[11] 授权公告号 CN 100417020C

[22] 申请日 2001.3.23 [21] 申请号 01807041.8

[30] 优先权

[32] 2000.3.23 [33] GB [31] 0006938.5

[32] 2000.11.9 [33] GB [31] 0027390.4

[86] 国际申请 PCT/GB2001/001309 2001.3.23

[87] 国际公布 WO2001/071914 英 2001.9.27

[85] 进入国家阶段日期 2002.9.23

[73] 专利权人 爱立信股份有限公司

地址 瑞典斯德哥尔摩

[72] 发明人 R·W·布朗 E·A·丹尼斯

D·W·瓦斯 G·布特勒

M·J·利奇

[56] 参考文献

US5103462A 1992.4.7

审查员 王艳坤

[74] 专利代理机构 中国专利代理(香港)有限公司

代理人 吴立明 陈 霏

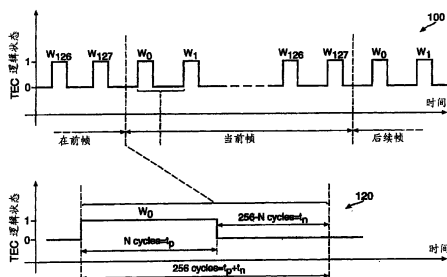
权利要求书 2 页 说明书 19 页 附图 6 页

[54] 发明名称

脉宽调制信号的产生方法和设备以及由脉宽
调制信号控制的光学衰减器

[57] 摘要

一种产生脉宽调制(PWM)信号的方法包括：接收数字指令数据 $V_{control}$ ，该数字指令数据包含至少一位较高有效位(bit7 ~ bit14)以及至少一位较低有效位(bit0 ~ bit6)。PWM 信号包含一个或多个脉冲帧(100)序列，每个脉冲帧包含：大量 PWM 脉冲(W1 ~ W127)，这些 PWM 脉冲的占空率完全由上述较高有效位(bit7 ~ bit4)控制；以及选择至少一个 PWM 脉冲，根据上述较低有效位(bit0 ~ bit6)对这些 PWM 脉冲进行修改；每个上述较低有效位(bit0 ~ bit6)与脉冲帧(100)中经选出的各个脉冲一一对应。本发明还涉及一种设备，该设备可以依照上述方法进行操作，以及一个光学衰减器，衰减器的衰减度取决于本身温度，可以采用上述 PWM 信号来控制衰减器的温度从而控制衰减度。



1. 依照数字需求数据字产生脉宽调制信号的方法，该数字需求数据字包含多个位($bit_0 \sim bit_{14}$)，该方法包括：从包含一个帧序列(100)的时钟信号产生 PWM 脉冲，每个帧包含一串 PWM 脉冲(W0 ~ W127)，在所述帧中的每一个脉冲的占空率由该需求数据字的多个较高有效位($bit_7 \sim bit_{14}$)确定，

其特征在于包括：根据该需求数据字的每个较低有效位($bit_0 \sim bit_6$)有选择地增大所述帧中的一个或者多个 PWM 脉冲的占空率，其中所述占空率被增大的一个或多个 PWM 脉冲的数目和在帧中的位置被选择，使得将每一较低有效位唯一地映射到相关的 PWM 脉冲。

2. 依照权利要求1的方法，该方法包括在每一个帧中选择其占空率增大的 PWM 脉冲，使其在所述帧中一致性地分布。

3. 依照权利要求1或者2的方法，该方法包含根据所述需求数据字的每个较低有效位($bit_0 \sim bit_6$)使 PWM 脉冲的占空率增大一个对应于单时钟周期的量。

4. 依照权利要求1或2的方法，该方法包括选择有待根据每个较低有效位 bit_i 增大占空率的 PWM 脉冲，在较低有效位 bit_i 中的 i 是下标，范围从 0 至 Q - 1，Q 是较低有效位的数目，用以下关系式定义：

$$S_p = INT(2^{Q-i})$$

其中，INT 对应一个整数函数，而 S_p 是使其占空率增大的脉冲间隔。

5. 依照权利要求4的方法，其中每个帧的第一个脉冲 C_p 的占空率依照较低有效位 bit_i 被增大，i 的范围从 0 至 Q - 1，具体定义如下：

$$C_p = 1/2 INT(2^{Q-i})$$

6. 依照权利要求1或2的方法，其中所述数字需求数据字包含 15 位，即 8 位较高有效位和 7 位较低有效位。

7. 产生 PWM 脉冲并可以依照上述任何一项权利要求的方法进行操作的设备(10)，该设备(10)包括：产生时钟信号的时钟装置(50)，以及根据数字需求数据字和时钟信号产生 PWM 脉冲的控制电路，所述控制电路被配置成实施以下步骤：从包含一个帧序列(100)的时钟信号产生 PWM 脉冲，每个帧包含一串 PWM 脉冲(W0 ~ W127)，在所述帧中的每一个脉冲的占空率由该需求数据字的多个较高有效位($bit_7 \sim bit_{14}$)确定，其特征在于包括：根据该需求数据字的每个较低有效位($bit_0 \sim bit_6$)有选择地增大所述帧中的一个或者多个 PWM 脉冲的占空率，其中所述占空率被增大的一个或多个 PWM 脉冲的数目和在帧中的位置被选择，使得将每一较低有效位唯一地映射到相关的 PWM 脉冲。

bit₁₄) 确定，

其特征在于包括：根据该需求数据字的每个较低有效位 (bit₀ ~ bit₆) 有选择地增大所述帧中的一个或者多个 PWM 脉冲的占空率，其中所述占空率被增大的一个或多个 PWM 脉冲的数目和在帧中的位置被选择，使得将每一较低有效位唯一地映射到相关的 PWM 脉冲。

8. 依照权利要求 7 的设备，其中所述控制电路被实施为现场可编程门阵列 (FPGA)。

9. 依照权利要求 8 的设备，该设备还包括开关装置 (SW1 ~ SW4)，该开关装置用于根据 PWM 脉冲向负载 (30) 提供电流。

10. 依照权利要求 9 的设备，其中开关装置连接在桥式电路中。

11. 依照权利要求 9 或 10 的设备，该设备还包括：滤波装置 (L1, L2, C1, C2)，用于衰减阻止 PWM 脉冲中相对较高谐波分量到达负载 (30)。

12. 依照权利要求 11 的设备，其中滤波装置包括具有一定阻抗的无源元件，而该阻抗几乎是纯电抗。

13. 依照权利要求 12 的设备，其中所述无源元件包括至少一个电感器 (L1, L2)，该至少一个电感器 (L1, L2) 连接到至少一个电容器 (C1, C2)。

14. 依照权利要求 13 的设备，其中至少一个电感是铁氧体磁芯。

15. 依照权利要求 9 或 10 的设备，其中所述负载包括热电元件 (30)。

16. 依照权利要求 15 的设备，其中所述热电元件与一个或多个光学衰减器热耦合在一起，并用激光和光学滤波器控制它们的温度，并由此控制它们的光学特性。

脉宽调制信号的产生方法和设备以及由脉宽调制信号 控制的光学衰减器

技术领域

本发明涉及一种产生脉宽调制(PWM)信号的方法和设备。更具体地说，本发明涉及电子光学元件的温度的控制，比如衰减器，滤波器以及固体激光器。这些元件用在光通信系统中。而且尽管非完全地，本发明主要涉及一个用在光通信系统中、分辨率得到提高的光学衰减器。

背景技术

在传统的光通信系统中，采用光学衰减器来调整和控制系统中的光辐射传播功率。这种衰减对于敏感光学元件，如检测器和光放大器，避免发生饱和现象以及对于确保光辐射具有足够强度使其避免被噪声淹没来说是必要的。饱和会导致信息的丢失并因此导致系统传输通信业务错误。

传统的光学衰减器中采用大量不同的光学元件结构，比如，可以采用一个或多个马赫-森德(Mach-Zehnder)干涉仪，调制液晶遮光器和色散效果调制器。在通信系统中，采用热变光学衰减器显得尤为方便，由于热变光学衰减器的光学衰减取决于衰减器的温度。从而，可以通过调节热变衰减器的温度来选择所需要的衰减度。

在热变衰减器中设置一个热电元件可以很方便地实现温度调整。热电元件的工作原理是热电效应，它既可以有选择地对衰减器进行加热也可以冷却，具体取决于衰减器中的光学元件的需求。然而，热电元件的运行常常消耗相当一部分能量，比如在5伏特信号电位驱动下通以0.5安培的电流时，消耗的功率为2.5瓦。

传统光通信系统中，通常被配置为光纤波导互相连接起来的多个节点，通过这些光纤波导，承载在光辐射中的通信数据可以在节点之间互相传播。节点中常常包含大量排列在设备机架上的光学和电子信号处理设备，比如传统19英寸机架。上述设备通常具备众多的上述热变衰减器样本。由于含有这些热变衰减器样本，衰减器所散发的热量，在需要进行降温的热负荷中占了相当大的比例，降温设备可以是，如

风扇，在设备机架中提供冷却气流。

发明人已经认识到，降低衰减器的散热功率是不可取的，这是因为衰减器的散热是相关热电元件的本质特征。降低向衰减器提供电能的电气驱动电路的散热功率是有好处的。众所周知，采用传统的包含线性非开关元件的电路，比如采用包含由传统模拟运算放大器驱动的串联调节双极功率晶体管的电路驱动热电元件，来调节驱动电流。这种电路的缺点是：功率管中的功耗接近相关热电元件的功耗。为克服这些缺点，发明人建议采用另一种电路来驱动热变光学衰减器的热电元件，其中该电路采用脉宽调制（PWM）技术产生驱动信号用以驱动热电元件，该电路与上文提到的传统电路相比，前者具有更低的散热功率。然而，发明人发现，当驱动信号是以已知的方式被数字式合成时，这种 PWM 技术不能提供足够的分辨率来控制衰减器的温度，从而引起相应的光学衰减器的分辨率不足，而分辨率不足则会在相关通信系统中引起问题。

众所周知，传统的 PWM 信号包含一串重复脉冲，每个脉冲的宽度为 t_p ，每个脉冲与相邻脉冲之间的零值宽度 t_n 。因此，脉冲以脉宽 $t_p + t_n$ 重复出现，而等式 1 (Eq1) 中给出了 PWM 信号的平均值 V:

$$V = \frac{(A - B) \cdot t_p}{t_n + t_p} + B \quad \text{Eq. 1}$$

其中

A = 脉冲区间的信号值；而

B = 脉冲空值区间的信号值。

此外，脉冲具有频率 f_p ，频率 f_p 由关系式 2 决定 (等式 2)

$$f_p = \frac{1}{t_n + t_p} \quad \text{Eq. 2}$$

在现有的脉宽调制设计中，通常用数字计数器电路产生信号，数字计数器电路在主时钟频率 f_{clk} 下工作。采用这种数字电路的结果是，宽度 t_p 和 t_n 只能进行分级调整，级数 M 可由等式 3 计算得到 (Eq. 3) :

$$M = \frac{f_{clk}}{f_p} \quad \text{Eq. 3}$$

为增加级数 M，要么必须增大 f_{clk} ，或者必须减小脉冲重复频率 f_p 。在某些应用领域中，脉冲值 V 的瞬时改变可能引起问题，因此对 f_p 设定

了一个较低的限值。传统的提高 PWM 分辨率的方法是采用较高的主时钟频率 f_{clk} ；这种方法会急剧增加相应数字电路的成本并且增加电路的运行功耗。而且在实际应用中数字电路所能达到的时钟频率是有限制的。

发明人发现，可以通过把脉冲分组成 F 脉冲帧来有效增加级数 M ，其中每个脉冲帧中的一个或多个脉冲比同一脉冲帧中的其他脉冲高一个级的时间宽度。这种脉冲帧技术将分辨率等级数增加到 MF ，而所引起的暂态波动却不会超过一级。而且，发明人还发现可以用特定的方法来选择一个或多个脉冲使其比别的脉冲高一级，而产生的 PWM 信号中的谐波分量则相对较低。在 PWM 信号用于控制较大电流的情况下，降低谐波分量是很重要的，比如，在光通信系统中，抑制因 PEM 电流波动引发的电子组件之间的干扰是很重要的。

发明内容

本发明的目标是设法提供一种光学衰减器以及相关的控制电路，该控制电路向 PWM 操作提供功率有效性，并具有足够的衰减调节分辨率，用于光通信系统。

根据本发明，提出了一种根据数字需求数据字产生脉宽调制 (PWM) 信号的方法，该数字需求数据字包含多个位 ($bit_0 \sim bit_{14}$)，该方法包括：从包含一个帧序列的时钟信号产生 PWM 脉冲，每个帧包含一串 PWM 脉冲，在所述帧中的每一个脉冲的占空率由该需求数据的多个较高有效位 ($bit_7 \sim bit_{14}$) 确定，其特征在于包括：根据该需求数据的每个较低有效位 ($bit_0 \sim bit_6$) 有选择地增大所述帧中的一个或者多个 PWM 脉冲的占空率 (duty cycle)，其中所述占空率被增大的一个或多个 PWM 脉冲的数目和在帧中的位置被选择，使得将每一较低有效位唯一地映射到相关的 PWM 脉冲。该方法具有如下优点：跟传统的 PWM 信号产生方法相比，前者所产生的 PWM 信号中含有较低的谐波分量。

优选地，该方法包括在每一个帧中选择其占空率增大的 PWM 脉冲，使其在所述帧中一致性地分布。

有利地，该方法包括根据所述需求数据的每个较低有效位 ($bit_0 \sim bit_6$) 使 PWM 脉冲的占空率增大一个对应于单时钟周期的量。

在优选实施方案中，根据每个较低有效位 bit_1 选取其占空率将要

增大的 PWM 脉冲，其中 i 是一个下标，其范围从 0 至 $Q-1$ ，而 Q 是较低有效位的位数，所述选取利用以下关系式：

$$S_p = INT(2^{Q-i})$$

其中 INT 对应一个整数函数。 S_p 是修改的脉冲间隔。按上述关系式定义的脉冲间隔能够保证每一个有效位选出的脉冲在脉冲中均匀分布，从而减低了 PWM 信号的谐波分量。

优选地，在每个帧中的第一脉冲 C_p ，根据较低有效位 bit_i 被增大， i 的值从 1 至 $Q-1$ ，具体定义如下：

$$C_p = 1/2 INT(2^{Q-i})$$

以这种方式选择第一脉冲，也可以确保所选择的脉冲能够均匀地分布在每帧的给定位上。而且，在特定的情况下，比如在 bit_0 即 $i = 0$ 的情况下，最好用 $C_p = S_p$ 对每帧中的第一脉冲进行修改。 bit_0 的这种选择方法，可以简化数字电路的设计。

在本发明的一个实施方案中，每个数据需求字包含 15 位有效位，即 8 位较高有效位和 7 位较低有效位，是比较方便的。

根据本发明的另一个方面，提供了一种依照上述方法产生 PWM 信号的设备。该设备包括：产生时钟信号的时钟装置以及根据数字需求数据字和时钟信号产生 PWM 脉冲的控制装置，所述控制装置用于产生依照上述任何一项权利要求的方法进行操作。

在实际实施上述设备时，最好所述控制装置被实施为现场可编程门阵列（FPGA）。采用 FPGA 的有利之处在于可以进行再配置而同时采用较少的电子部件。

优选地，该设备还包括向 PWM 信号对应负载提供电流的开关装置，较为可取地，该开关装置连接在桥式结电路中。上述设备与传统的 PWM 设备相比，具有如下优点：即能够向负载提供含较少谐波分量的 PWM 信号。

便利地，希望结合滤波装置来衰减阻止 PWM 信号的相对较高次谐波分量到达负载。通过滤波，可以降低负载中的谐波成分，而这些谐波可能暂态影响负载运行。优选地，滤波装置包含具有一定阻抗的无源元件，这些阻抗几乎是纯电抗，比如至少一个电感器和至少一个电容器。更优选地，出于物理紧凑性方面以及较低的成本方面的考虑，电感线圈中采用的是铁氧体磁芯。

优选地，负载中包含有热电元件。热电元件的工作通常需要相对较高的电流，在电子系统中，电流的脉冲式转换是产生干涉的原因。从而，依照本发明的设备，尤其适用于控制具有上述元件的电源。

优选地，热电元件与光学衰减器的一处或多处进行热耦合，用激光器或光学滤波器控制它们的温度，从而控制它们的光学特性。该设备所提供的激光器和滤波器与传统的 PWM 控制器相比，对衰减器的干涉较小。

附图说明

下面，采用示例的方法并结合下文的参考附图，对本发明的实施方案进行说明，其中：

图 1 是一个示意图，图示了依照本发明的一个 PWM 电路，该电路用来控制根据赛贝克效应工作的电热元件的输入电流；

图 2 是图 1 中图示的电路所形成的 TEC 瞬时信号图；而

图 3 是一个π型网络，包含在图 1 的电路中，用来过滤输送给不同元件的电流中的谐波含量。

图 4 是一个依照本发明的分辨率得到提高的衰减器的示意图，依照本发明，该衰减器与 PWM 电路相结合使用。

图 5 是 FPGA 的 PWM 输出级、以及图 4 的衰减器中的低通滤波器的示意图；而

图 6 是一个示意图，图示了由图 4 和 5 中的 FPGA 所产生的 PWM 信号的脉冲复帧结构。

具体实施方式

参考图 1，图 1 中图示了 PWM 电路 10，该电路用来控制进入赛贝克效应电热元件 30 的电流。下文中将说明，电热元件通常用来控制温度并因此操作电子光学元件，比如衰减器，滤波器或固体激光器。

电路 10 包含 PWM 的控制器 20，以及四个 MOSFET 开关 SW1, SW2, SW3, SW4。元件 30 是所知的“珀耳帖效应元件”。控制器 20 包括一个主时钟发生器 50, 一个计数器逻辑单元 60 和一个接口逻辑单元 70。

接下来对电路 10 中的各个元件之间的连接进行说明，互联关系描

述在图 1 中。

开关 SW1, SW2, SW3, SW4 中，每个包含一个第一电极，一个第二电极和一个相关的栅极 G。在栅极 G 上加载一个电位以控制从第一电极 E1 流向第二电极 E2 的电流。开关 SW1 ~ SW4 连接在桥式电路中，开关 SW1 和 SW3 构成第一桥臂，开关 SW2 和 SW4 构成第二桥臂。开关 SW1 和 SW2 的第一电极 E1 与电位的正极 P+ 相连，而开关 SW3 和 SW4 的第二电极 E2 与电位的负极 P- 相连。此外，开关 SW1 的第二电极 E2 与开关 SW3 的第一电极 E1 相连，并且还与元件 30 的第一端 T1 相连。同样，开关 SW2 的第二电极与开关 SW4 的第一电极以及元件 30 的第二端 T2 连接在一起。开关 SW1, SW2, SW3, SW4 各自的栅极 G1, G2, G3, G4 分别与接口逻辑单元 70 的驱动输出端 D1, D2, D3, D4 相连。

在 PWM 控制器 20 中，时钟发生器 50 的输出端 C0 与计数器逻辑单元 60 的时钟输入端相连。计数器单元 60 还包括一个接收控制输入 $V_{control}$ 的输入端。此外，计数器单元 60 包括与接口单元 70 相连的输出 TECA 和 TECB。

下面，结合图 1 对电路 10 的运行进行说明。

当电流从 T1 端流向 T2 端时，元件 30 可以冷却与其相热耦合的电子光学元件（图中没有画出）。相反，当电流从 T2 端流向 T1 端时，元件 30 则起到加热的作用。因而，当开关 SW1 和 SW4 同时处于导通、而开关 SW2 和 SW3 处于关断的时候，元件 30 实现冷却功能。而当开关 SW2 和 SW3 同时处于导通、而开关 SW1 和 SW4 处于关断的时候，元件 30 实现加热功能。开关 SW1, SW2, SW3, SW4 的导通或关断分别由驱动输出 D1, D2, D3, D4 的逻辑状态控制。当输出 D1, D2, D3, D4 中的一个或多个输出是高电平 (H)，那么所对应的开关其电极 E1 和 E2 之间就处于导通状态。同样，当输出 D1, D2, D3, D4 中的一个或多个输出是低电平 (L)，那么所对应的开关其电极 E1 和 E2 之间就被关断。驱动输出状态受输出 TECA 和 TECB 的逻辑状态控制，具体描述见表 1。

表 1

注释	TECA	TECB	D ₁	D ₂	D ₃	D ₄
关断	逻辑状态 0	逻辑状态 0	L	L	L	L
制冷	逻辑状态 0	逻辑状态 1	H	L	L	H
加热	逻辑状态 1	逻辑状态 0	L	H	H	L
禁止	逻辑状态 1	逻辑状态 1	-	-	-	-

驱动输出 TECA、TECB 提供 PWM 信号，PWM 信号周期性地导通和关断开关 SW1 至 SW4。这些信号与由 $V_{control}$ 决定的占空率有关。

时钟发生器 50 以 15.36MHz 的频率产生连续的逻辑输出时钟信号。计数器单元 60 接收时钟信号并且用 8 位二进制计数器将其除以因子 256，并以基本上 60KHz 的频率重复产生输出信号 TECA、TECB。而且，计数器单元 60 经配置可以以分组形式输出 TECA、TECB，也指 128 个连续脉冲帧，对脉冲进行控制，这些帧以基本上 470Hz 的频率重复。下文中将会明白，8 位计数器以及包含 128 个脉冲的帧的使用，能够向电路 10 有效提供 15 位的控制分辨率。

对计数器单元 60 进行配置使得 TECA、TECB 不同时处于逻辑状态 1。事实上，在 TECB 由状态 0 转换成状态 1 之前，允许 TECA 用两个时钟周期，即基本上 130 纳秒时间，由逻辑状态 1 转换成逻辑状态 0。同样，在 TECA 由状态 0 转换成状态 1 之前，允许 TECB 用两个时钟周期，即 120 纳秒的时间由逻辑状态 1 转换成逻辑状态 0。允许开关或桥臂用两个周期的时间达到非导通状态，可以带来较高频率的电流脉动，并且导致开关中瞬时能耗的增加。

信号 $V_{control}$ 提供数字数据，用来决定输入给元件 30 的电流占空率，信号 $V_{control}$ 具有数字的字结构，如表 2 所示。

表 2

最高有效位								最低有效位							
bit ₁₄	bit ₁₃	bit ₁₂	bit ₁₁	bit ₁₀	bit ₉	bit ₈	bit ₇	bit ₆	bit ₅	bit ₄	bit ₃	bit ₂	bit ₁	bit ₀	

字中的 bit₁₄ 是最高有效位，而 bit₀ 则是最低有效位。这些字用来控制电路 10 使其达到基本 1/32000 的分辨率。下面将结合图 2 对表 2 中的字结构的有效性进行讨论。图 2 中，图示的 TECA、TECB 瞬时信号的电路 10 的形式。TECA、TECB 输出遵循上述两个时钟周期间隔这两个时钟周期在描述字结构以及有效位中被忽略。

计数器单元 60 产生 TECA 或 TECB 信号，以便包含 128 个脉冲的重複帧，见图中的 100 所示。每个脉冲被配置，如图中 120 所示，以 256 个时钟周期间隔进行重复，256 个周期对应方程中时间 $t_n + t_p$ 时间。每个脉冲的宽度是 N 个时钟周期，对应一个 t_p 的长度，相邻脉冲之间间隔 256N 个时钟周期的零值时间，对应方程 1 中的时间 t_n 。在该帧中，通过一个或多个特定的脉冲的 N 值增加 1 来提高电路 10 的分辨率。在表 2 的字中，计数器单元 60 通过处理 bit₇ 和 bit₁₄ 来控制 N 的值，而通过处理 bit₀ 和 bit₆ 来决定帧中哪个脉冲的相关 N 值增加 1。当 bit₇ ~ bit₁₄ 全是逻辑 0 时，N 的值为 0；同样，当 bit₇ ~ bit₁₄ 全是逻辑 1 时，N 的值为 255；以及当 bit₇ ~ bit₁₃ 全是逻辑 0，而 bit₁₄ 是逻辑 1 时，N 的值为 127，等等。

bit₀ ~ bit₆ 中的每一位都映射到帧中的特定相关脉冲 W₀ ~ W₁₂₇，W₀ ~ W₁₂₇ 中特定脉冲的 N 值相应增加。表 3 给出了所有位与脉冲的对应关系。

表 3

位	在每一个帧中关联一个或者更多脉冲使其N值递增
bit ₀	W127
bit ₁	W31, W95
bit ₂	W15, W47, W79, W111
bit ₃	W7, W23, W39, W55, W71, W87, W103
bit ₄	W3, W11, W19, W27, W35, W43, W51, W59, W67, W75, W83, W91, W99, W107, W115, W123
bit ₅	W1, W5, W9, W13, W17, W21, W25, W29, W33, W37, W41, W45, W49, W53, W57, W61, W65, W69, W73, W77, W81, W85, W89, W93, W97, W101, W105, W109, W113, W117, W121, W125
bit ₆	W0, W2, W4, W6, W8, W10, W12, W14, W16, W18, W20, W22, W24, W26, W28, W30, W32, W34, W36, W38, W40, W42, W44, W46, W48, W50, W52, W54, W56, W58, W60, W62, W64, W66, W68, W70, W72, W74, W76, W78, W80, W82, W84, W86, W88, W90, W92, W94, W96, W98, W100, W102, W104, W106, W108, W110, W112, W114, W116, W118, W120, W122, W124, W126

从表 3 中可以看出，位中每一位被唯一地映射到每帧中的相关脉冲。通常，映射由以下方程 4 和 5 决定 (Eq4 和 Eq5)：

$$S_p = INT(2^{2-i}) \quad Eq. 4$$

$$i = 0, 1, 2, 3, \dots$$

其中

S_p : 帧中的脉冲间隔;

Q : 帧中由于 N 值的增加所提供的 $V_{control}$ 字中的位的数;

i : 用于 S_p 计算的位的下标;

INT : 四舍五入整数函数.

$$C_p = \frac{1}{2} INT(2^{Q-i}) \quad \text{Eq. 5}$$

$i = 0, 1, 2, 3, \dots$

C_p : 帧中的起始脉冲;

$i = 0$ 时 $C_p = INT(2^{Q-i})$

比如, 当 $Q = 6, i = 5$ 时, 表 3 中间隔 $S_p = 4$, 帧中每 4 个脉冲被选择; 等式 4 返回一个值 4。同样, 当 $Q = 6, i = 5$, 表 3 中的起始脉冲是 $W1$, 即第二个脉冲等式 5 返回一个值 2; $W0$ 是第一个脉冲。

PWM 电路设计领域的技术人员将会认可: 表 2 中的字结构只是作为一个例子加以说明, 其他长度的字结构也是可行的, 比如, 用 12 位代替文中的 15 位。

表 3 中列出的信息, 交替式地列在表 4 中来描述每帧中的脉冲, 当表 2 的字中的特定位设定为逻辑 1 时, 可以影响表 4 中的各帧脉冲。若脉冲受到影响, 则表 2 的字中的相应的位栏中填上“1”。

表 4

脉冲	Bit6	Bit5	Bit4	Bit3	Bit2	Bit1	Bit0	脉冲	Bit6	Bit5	Bit4	Bit3	Bit2	Bit1	Bit0
W0	1							W65		1					
W1		1						W66	1						
W2	1							W67			1				
W3			1					W68	1						
W4	1							W69			1				
W5		1						W70	1						
W6	1							W71							1
W7				1				W72	1						
W8	1							W73			1				
W9		1						W74	1						
W10	1							W75							1
W11			1					W76	1						
W12	1							W77			1				
W13		1						W78	1						
W14	1							W79							1
W15					1			W80	1						
W16	1							W81		1					

表 4 (续)

脉冲	Bit6	Bit5	Bit4	Bit3	Bit2	Bit1	Bit0	脉冲	Bit6	Bit5	Bit4	Bit3	Bit2	Bit1	Bit0
W17		1						W82	1						
W18	1							W83			1				
W19			1					W84	1						
W20	1							W85		1					
W21		1						W86	1						
W22	1							W87				1			
W23				1				W88	1						
W24	1							W89		1					
W25		1						W90	1						
W26	1							W91			1				
W27			1					W92	1						
W28	1							W93		1					
W29		1						W94	1						1
W30	1							W95							
W31							1	W96	1						
W32	1							W97		1					
W33		1						W98	1						
W34	1							W99			1				
W35			1					W100	1						
W36	1							W101		1					
W37		1						W102	1						
W38	1			1				W103							1
W39								W104	1						
W40	1							W105		1					
W41		1						W106	1						
W42	1							W107				1			
W43			1					W108	1						
W44	1							W109		1					
W45		1						W110	1						
W46	1							W111							1
W47					1			W112	1						
W48	1							W113		1					
W49		1						W114	1						
W50	1							W115				1			
W51			1					W116	1						
W52	1							W117		1					
W53		1						W118	1						
W54	1						1	W119							1
W55				1				W120	1						
W56	1							W121		1					
W57		1						W122	1						
W58	1							W123				1			
W59			1					W124	1						
W60	1							W125		1					
W61		1						W126	1						
W62	1							W127							1
W63															
W64	1														

从表 4 中可以看出，在表 2 的字的值改动后，只有脉冲 W63 没有被调整。如果需要，可以用 bit₀ 来调整脉冲 W63，而不是脉冲 W127，这种情况下，将等式 5 换为等式 6 来描述帧中的起始脉冲。

$$C_p = \frac{1}{2} INT(2^{2-i}) \quad Eq. 6$$

$$i = 0, 1, 2, 3, \dots$$

为说明本发明的优点，下面在传统 PWM 方法和本发明的方法之间

作一下比较。为简化起见，采用包含 8 个最高有效位和 4 个最低有效位的 12 位的字。8 位最高有效位用来控制每个脉冲的占空率，而 4 位最低有效位用来控制 16 脉冲帧中的特定的脉冲的增值。因而，Aw 对应上述 N 值没有增加的脉冲，而 Bw 则对应 N 值经增加的脉冲。

出于比较，在传统方法中（在此标为第一种方法），经增值的脉冲结合成一组，而在本发明的方法中（在此标为第二种方法），经增值的脉冲依照上述表 3 和 4 以及等式 4 和 5 进行分布，只不过用 12 位字进行修改。

所以，在第一种方法中，脉冲帧中脉冲的瞬时序列按照如下顺序排列（举例），从左到右：

Aw Aw Aw Aw Aw Aw Aw Bw Bw Bw Bw Bw Bw

即，经增值的脉冲排列在一起。

然而，在依照本发明的第二种方法中，帧中脉冲的瞬时序列则按如下顺序排列，从左到右：

Aw Bw Aw Bw Aw Bw Aw Bw Aw Bw Aw Bw

即，经增值的脉冲按照等式 4 和 5 的关系排列。

发明人采用快速傅立叶变换（FFT）分析，从 Aw Bw 脉冲序列中导出谐波分量，上述 12 位所对应的范围是 4096，而 Aw Bw 对应的值为 2056，即平均值为 0.50195。频率被归一化为帧谐波。而且，谐波 0 对应的平均值为 0.50171，与均值 0.50195 非常接近，两种方法中主要的不同在于高次谐波。表 5 列出了快速傅立叶变换后的计算结果。

表 5

归一化 频率	第一方法		根据本发明的第二种方法	
	dB	绝对值	dB	绝对值
0	-5.990	0.50171	-5.990	0.50171
1	-57.89	0.00127	-72.25	0.00024
2	-72.25	0.00024	-72.25	0.00024
3	-65.97	0.00050	-72.25	0.00024
4	-72.25	0.00024	-72.25	0.00024
5	-68.36	0.00038	-72.25	0.00024
6	-72.25	0.00024	-72.25	0.00024
7	-69.15	0.00035	-72.25	0.00024
8	-72.25	0.00024	-54.12	0.00197
9	-69.15	0.00035	-72.25	0.00024
10	-72.25	0.00024	-72.25	0.00024
11	-68.36	0.00038	-72.25	0.00024
12	-72.25	0.00024	-72.25	0.00024
13	-65.97	0.00050	-72.25	0.00024
14	-72.25	0.00024	-72.25	0.00024
15	-57.89	0.00127	-72.25	0.00024
16	-9.940	0.31830	-9.940	0.31830

从表 5 中可以看出，采用第二种方法的谐波分量相对较低；如采用第二种方法，一次谐波的分量减少了 14.36db。

在电路 10 中采用无源滤波器是比较可取的，比如电感器和电容器相组合与元件 30 串联来减少电路中的高频谐波分量。在第二种方法中，由电路 10 输入元件 30 的电流中的谐波能，更多的被转移到较容易消除的相对高次频率中。无源滤波器最好包含一个铁氧体芯电感器，可以制成，如刀型网络，见图 3。

在图 3 中，电极 T1, T2 分别通过电容 C1, C2 与负电位 P- 相连。电极 T1, T2 还分别通过开口铁芯电感 L1 和铁氧体磁芯电感 L2 与第一桥臂和第二桥臂相连。刀型网络用来削弱输入给元件 30 的 60KHz 或更高频率的电流成分，确保元件 30 不受这些高频成分的冲击。刀型网络还可以削弱 60KHz 以下的成分，比如 1KHz 的电流成分。

下面结合图 4 来说明，图 4 中标有 200 的部分是一个依照本发明的分辨率经提高的光学衰减器。为清楚起见，相似元件标以相同的符号。衰减器 200 包含一个衰减器模块 210，模块 210 与热电元件 30 热耦合，衰减器 200 还包含一个分光器 220 和一个光辐射探测器 230 以及用来控制衰减器模块 210 的运行的 PWM 控制电路 10。PWM 控制电路

包括一个现场可编程序的门阵列(FPGA)240, FPGA240与对应时钟250相连, 以及包括一个输出低通滤波器260。衰减器200还包括一个与衰减器模块210的输入端相连的第一波导管270, 用来输送光辐射输入信号Pi, 包括一个与衰减器模块210的输出端相连的第二波导管280, 包括一个与分光器220的第一输出端相连的第三波导管290, 包括一个分别与分光器220的第二输出端以及光辐射探测器230的输入端相连的第四波导管300。波导管270, 280, 290, 300都是单模光线波导管; 当然它们也可以是多模式波导管。检测器230的输出电极T3与FPGA240的输入电极I1相连。FPGA240还包括一个输出电极V0, 在运行过程中, PWM信号通过输出电极V0输出; 输出电极V0与低通滤波器260的输入电极J1相连。滤波器260的输出电极J2与热电元件30的输入电极I3相连。最后, 时钟250包括与FPGA240的时钟输入端相连的电气输出端。

衰减器模块210与光学元件相结合, 可以削弱输入辐射Pi从模块210的输入端传播到输出端。光学元件经操作可以提供某种程度上的衰减, 而这是温度的功能。热电元件30与这些光学元件热耦合在一起, 并且通过加热或冷却来影响光学元件的温度。热电元件30利用塞贝克效应实现加热或冷却。

分光器220是一个光纤耦合器, 分光器可以把从光输入端接收到的辐射P0的90%分配给第一输出端, 10%分配给第二输出端; 在实际情况中, 分配的比例可以从98%: 2% ~ 85%: 15%。检测器230包括一个光电二极管, 经操作可以在光输入端接收0.1P0的光辐射, 并且在输出端T3产生相应的电信号。

低通滤波器260是一个无源滤波器网络。包含电感器和相关电容器。滤波器260可以削弱来自输出端V0的PWM信号中大于10KHz的信号成分, 尤其是40KHz附近的信号。从而, 滤波器260能够把PWM信号转换成相应的低频直流电信号, 用来驱动热电元件30。

FPGA240是一个具有一排逻辑门的半导体逻辑器件, 用户可以设置这些逻辑门来定制特定的功用。在衰减器200中, FPGA240经设置可以由时钟250以40MHz的频率进行计时。FPGA240还具有放大功能以及产生PWM信号的功能。

衰减器200采用放大功能来实现负反馈回路, 用来调整由衰减器

模块 210 提供的衰减度，以到达检测器 230 产生发生器，并依次产生 PWM 信号用来控制输送给热电元件 30 的能量。

PWM 信号发生器可以产生 PWM 信号，并从 V0 输出端输出，这些信号以二进制形式，在高电平和低电平之间周期性地转换。信号的周期是 25 微秒，对应的频率为 40KHz，换句话说，1000 个时钟 70 的周期。选择 40KHz 的 PWM 信号作为两者的折衷：

(a) 选择一种频率，在这种频率下滤波器 260 可以实际采用电感器和电容器。

(b) 选择一种足够高的频率，使得从滤波器 260 的输出电气波动不会对通过衰减器 210 传播到光辐射的幅度调制；以及

(c) 选择足够低的频率以确保具有足够的分辨率来调整从高频主时钟导出的 PWM 数字信号。

产生 40MHz 时钟频率的时钟 250 以在 FPGA240 中的逻辑门可以关断的速率进行控制。输送给热电元件 30 的能量取决于 PWM 信号的脉冲间隔率，换句话说，取决于每个 PWM 信号在第一种状态的周期时间与第二种状态的周期时间的比率。衰减器 200 中，1: 1 的脉冲间隔率对应的状态是：向热电元件 30 提供 0 功率。与 1: 1 比率的偏差决定了是向衰减器模块 210 加热还是冷却。

由于每个 PWM 周期等于 1000 个时钟周期，所以衰减器可以提供 500 级的冷却分辨率和加热分辨率；这对应于 9 位加热或冷却分辨率。

下面，结合图 4 对衰减器 200 的操作进行说明。输入辐射 P_i 沿着第一波导管传播到衰减器模块 210。辐射 P_i 沿着衰减器模块 210 传播，并在模块 210 中衰减为辐射 P_0 ，经衰减的辐射 P_0 传播到分光器 220，并在 220 中得到分解，其中 10% 通过波导管 300 传给检测器 230。检测器 230 接收该部分辐射并产生电信号 T_3 ，电信号 T_3 传输给 FPGA240 的输入端 I1。FPGA240 采用模数转换器 (ADC) 把电信号 T_3 转换成相应的数字信号 T_3 ；模数转换器还把参考信号 PR 转换成数字信号 PR 。然后，放大函数通过计算 T_3 数字信号和 PR 数字信号之间的偏差来产生相应的偏差数。偏差数从放大函数传送给 PWM 函数，而 PWM 信号的脉冲间隔率受偏差数的控制。然后，PWM 信号经过 MOSFET 缓冲器功率管（图中没有画出）从 FPGA240 中输出，并通过滤波器 260 输出到热电元件 30。FPGA240 能够有效地调整经衰减的辐射 P_{ODE} 的辐射能，使

其达到与参考信号 PR 相同的能级。假如参考信号 PR 保持常数，那么衰减器 200 试图把辐射 P0 调整为衰减可调范围内、以及衰减器模块 210 所能提供的分辨率范围内的常数能级。

下文中将结合图 5 对前面所述的 MOSFET 晶体管和滤波器 260 进行更为详细的说明。FPGA240 具有两个输出逻辑门 310, 320，输出逻辑门 310 和 320 的输出量在相位上刚好互相相反，一个为正时另一个为负。逻辑门 310 的输出端与第一个金属氧化物半导体场效应功率管的栅极相连 (FET1)。同样，逻辑门 320 的输出端与第二个金属氧化物半导体场效应功率管的栅极相连 (FET2)。第一 MOSFET 的漏极与正极 +ve 相连，而第二 MOSFET 的源极与负电极 -ve 相连。第一 MOSFET 的源极第二 MOSFET 的漏极连在一起并与滤波器的输入端 J1 相连。

滤波器 260 具有一个与电容器 C1 并联的电感器 L1，此外，滤波器 260 还具有一个与电容器 C2 串联的电感器 L2。输入端 J1 与 L1 和 C1 构成的并联谐振电路的第一节点相连。并联谐振电路的第二节点与电感器 L2 的一端相连。电感器的另一端则与电容器 C2 相连并通过电容器接地（接地点电位为 0v）。电极 (+ve, -ve) 与地电势 (0v) 之间呈对称分布。此外，并联和串联谐振电路的谐振频率设计为 40khz，选择 40KHZ 的目的是为了从 J1 端输入的 PWM 信号中 40khz 的分量不能通过滤波器 260，从而可以确保从热电元件的 I3 端输入的电信号完全是低频“直流”，即避免了交流分量。

在操作过程中，当 PWM 信号的脉冲间隔率为 1: 1 时，从 J1 输入端输入的信号通过 MOSFET (FET1) 连接到正电极 (+ve)，连接时间与输入端 J1 通过第二 MOSFET (FET2) 与负电极 (-ve) 相连的时间相同。1: 1 的脉冲间隔率使得加载在热电元件 30 上的平均电位为 0，即流过热电元件 30 的电流为 0。当脉冲间隔率偏离 1: 1 时，电流就可以从正方向和负方向流过热电元件 30，从而可以相应地对衰减器模块 210 进行加热或冷却。比如，假如输出 K 的大部分时间电势为正，那么第一 MOSFET (FET1) 的大部分时间处于导通状态，从而提供一个正向电流通过滤波器 260 流入元件 30 的输入端 I3，并流向接地点 0 电势点，因而对模块 210 进行加热。相反地，假如输出端 K 大部分时间为负电势，那么第二 MOSFET (FET2) 的大部分时间处于导通状态，从而提供一个负向电流通过滤波器 260 流入元件 30 的输入端 I3，并流向接地点 0

电势点，因而对模块 210 进行冷却。

上述过程中，会产生有关衰减器 210 的分辨率问题。PWM 信号采用 40KHZ 是折衷的结果，同时，元件 30 流过正向电流以及流过负向电流时所提供的调节分辨率都是 500 级。在实际应用中发现上述 500 级的分辨率所对应的 9 位分辨率，对于采用衰减器 20 把经衰减的辐射调整到通信系统所需要的分辨率，常常显得太粗糙了；分辨率粗糙是一个有待解决的问题。理论上讲，16 位分辨率就可以满足需要，但是这要求 FPGA240 的时钟频率能达到 2.5GHz，这是不可行的。解决该问题的一个办法是选择较低的 PWM 信号频率；为了获得 16 位分辨率，PWM 信号频率必须减小到 620hz，考虑到滤波器的分量值，这也是不可行的。另一种解决办法是对 PWM 采取分配操作，并采用线性调整方法；然而，线性调整对于上述提及的接地功率分配来说也是不可行的。

本发明采用多帧方法在上述 FPGA240 中产生 PWM 信号，从而解决了上述问题。下面将结合图 6 对多帧方法作进一步的说明。

图 6 中，40 所标出的部分图示了 PWM 信号的多帧结构。由 FPGA240 产生的每个 PWM 信号周期的宽度是 t_{025} 微秒，并指定为一帧。64 个上述单帧构成一个具有 64 倍 t_0 的复帧。在 t_1 周期每个帧都处于高电平状态 (+ve)，而在 t_2 周期则处于低电平 (-ve) 状态。周期 $t_0 + t_1$ 等于 t_0 。FPGA240 产生 40MHz 的时钟频率，使得周期 t_1 和 t_2 具有 25 纳秒 t_s 级的分辨率，周期 t_1 可以用下面的等式表示 (Eq7)：

$$t_1 = n_1 t_s \quad \text{Eq7}$$

其中 n_1 = 周期 t_1 内时间级 t_s 的数目。

此外，周期 t_2 可以用等式 8 表示 (Eq 8)

$$t_2 = \left(\frac{t_0}{t_s} - n \right) t_s \quad \text{Eq8}$$

n_1 的大小可以由 FPGA240 在范围 1 ~ 1000 内调整；如前面所述，在光通信系统中，1000 级的分辨率是不够的。发明人已经认识到，尽管在每个帧内增加分辨率是不可能的，但是在每个复帧内调整一个或多个单帧的宽度是完全可行的。将调整保持在一个 t_s 时间范围内，那么调整的幅度相当小，这对于从衰减器模块 210 中输出的经衰减的辐射 P_0 来说是并不明显。

比如，对于复帧中的所有 64 个单帧在 $n_1 = 500$ 的情况下，有必要

稍稍增加热电元件的驱动电流。采用多帧方法后，从单帧 1 到 63 的 n1 的值可以设定为 500，而单帧 64 的 n1 的值可以设定为 501。因而，该方法提供的复帧中每个单帧的 n1 的平均值为 500.015625。从而，包含 64 个单帧的复帧的使用增加了 6 位分辨率，与每一帧所具有的 10 位分辨率 (1000 counts) 相加一起能够达到 16 位有效分辨率，这个分辨率对于上文中用在通信系统中的衰减器 10 的运行来说已经足够了。

当复帧有多个单帧的计数值需要增加一个计数 (count) 必须考虑如下问题，即该问题涉及选复帧中哪个单帧作为增加计数值的对象。当复帧中有两个单帧的计数值需要增加 1 时，优选采用单帧 32 和 64，这就使得相应的扰动能够在复帧内均匀分布；扰动的均匀分布有助于阻止热电元件 30 中的暂态热波动，这些热波动作为经衰减的辐射 P0 中的调制信号是可以检测到的。假如选择所要增加计数值的单帧成组地集中在复帧的某个区域，那么上述热波动会引发问题。同样，当复帧中需要增加三个单帧的计数值，那么优选采用单帧 21, 43, 64 作为增加的对象，等等。当控制分辨率比 t_s 级要高时，所需要增加计数值的单帧在表 6 中列出。

表 6

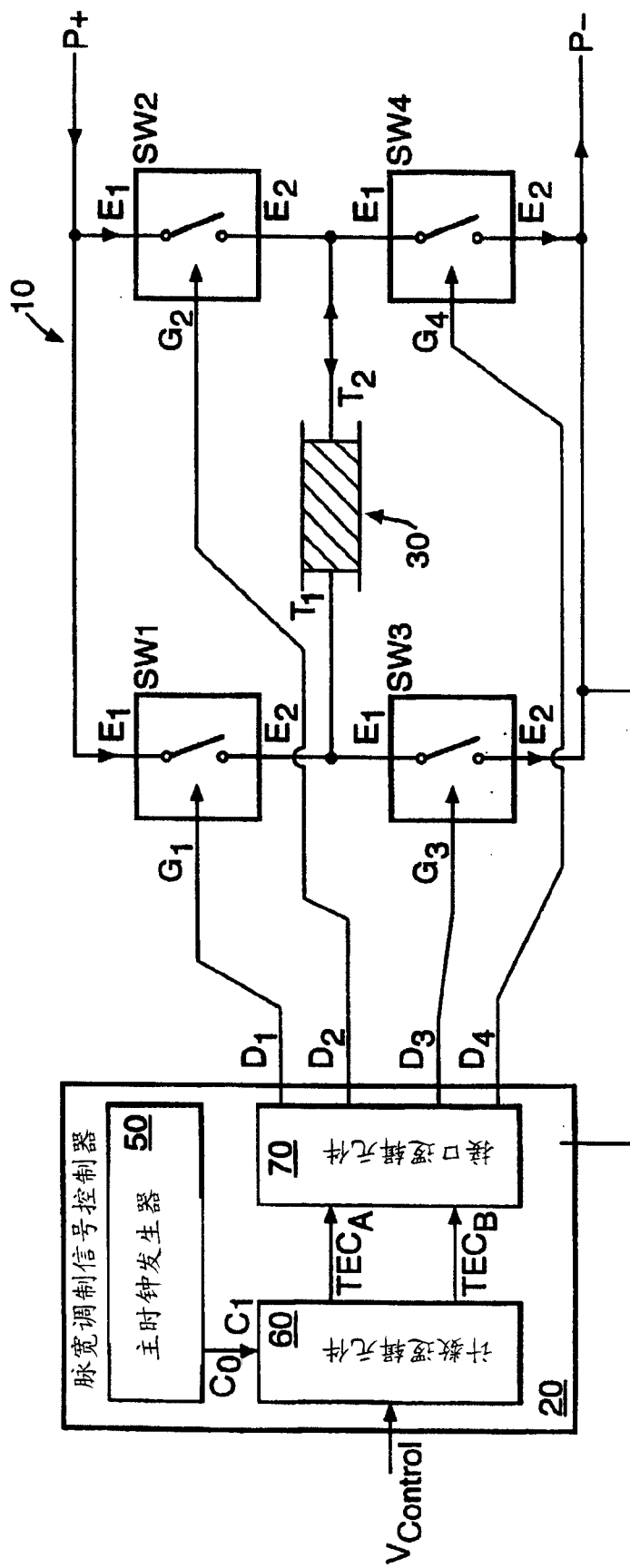
帧的编号，每一个帧具有其递增1个计数的n1值	在有待递增的多帧中的具体帧
1	64
2	32, 64
3	21, 43, 64
4	16, 32, 48, 64
5	13, 26, 38, 51, 64
6	11, 21, 32, 43, 53, 64
7	9, 18, 27, 37, 48, 55, 64
8	8, 16, 24, 32, 40, 48, 56, 64
9	7, 14, 21, 28, 36, 43, 50, 59, 64
10	6, 13, 19, 26, 32, 38, 45, 51, 58, 64
11	5, 12, 17, 23, 29, 35, 41, 47, 52, 58, 64
12	5, 11, 16, 21, 27, 32, 37, 43, 48, 53, 59, 64
13	5, 10, 15, 20, 25, 30, 34, 39, 44, 49, 54, 59, 64
14	5, 9, 14, 18, 23, 27, 32, 37, 41, 46, 50, 55, 59, 64
15	4, 9, 13, 17, 21, 26, 30, 34, 38, 43, 50, 51, 55, 60, 64
16	4, 8, 12, 16, 20, 24, 28, 32, 36, 40, 44, 48, 52, 56, 60, 64
17	4, 8, 11, 15, 19, 23, 26, 30, 34, 38, 41, 45, 49, 53, 56, 60, 64
18	4, 7, 11, 14, 18, 21, 25, 28, 32, 36, 39, 43, 46, 50, 53, 57, 60, 64
19	3, 7, 10, 13, 17, 20, 24, 27, 30, 37, 37, 40, 44, 47, 51, 54, 57, 61, 64
20	3, 6, 10, 13, 16, 19, 22, 26, 29, 32, 35, 38, 42, 45, 48, 51, 54, 58, 61, 64
21	3, 6, 9, 12, 15, 18, 21, 24, 27, 30, 34, 37, 40, 43, 46, 49, 52, 55, 58, 61, 64
22	3, 6, 9, 12, 15, 17, 20, 23, 26, 29, 32, 35, 38, 41, 44, 47, 49, 52, 55, 58, 61, 64
23	3, 6, 8, 11, 14, 17, 19, 22, 25, 28, 31, 33, 36, 39, 42, 45, 47, 50, 53, 56, 58, 61, 64
24	3, 5, 8, 11, 13, 16, 19, 21, 24, 27, 29, 32, 35, 37, 40, 43, 45, 48, 51, 53, 56, 59, 61, 64
25	3, 5, 8, 10, 13, 15, 18, 20, 23, 26, 28, 31, 33, 36, 38, 41, 44, 46, 49, 51, 54, 56, 59, 61, 64
26	2, 5, 7, 10, 12, 15, 17, 20, 22, 25, 27, 30, 32, 34, 37, 39, 42, 44, 47, 49, 52, 54, 57, 59, 62, 64
等等等同地分布到	
58	1, 2, 3, 4, 6, 7, 8, 9, 10, 11, 12, 13, 14, 15, 17, 18, 19, 20, 21, 22, 23, 24, 25, 26, 28, 29, 30, 31, 32, 33, 34, 35, 36, 38, 39, 40, 41, 42, 43, 44, 45, 46, 47, 49, 50, 51, 52, 54, 55, 56, 57, 58, 59, 60, 61, 62, 63, 64
59	1, 2, 3, 4, 5, 7, 8, 9, 10, 11, 12, 13, 14, 15, 16, 17, 18, 20, 21, 22, 23, 24, 25, 26, 27, 28, 29, 30, 31, 33, 34, 35, 36, 37, 38, 39, 40, 41, 42, 43, 44, 46, 47, 48, 49, 50, 51, 52, 53, 54, 55, 56, 57, 59, 60, 61, 62, 63, 64
60	1, 2, 3, 4, 5, 6, 7, 9, 10, 11, 12, 13, 14, 15, 16, 17, 18, 19, 20, 21, 22, 23, 25, 26, 27, 28, 29, 30, 31, 32, 33, 34, 35, 36, 37, 38, 39, 41, 42, 43, 44, 45, 46, 47, 48, 49, 50, 51, 52, 53, 54, 55, 57, 58, 59, 60, 61, 62, 63, 64
61	1, 2, 3, 4, 5, 6, 7, 8, 9, 10, 11, 13, 14, 15, 16, 17, 18, 19, 20, 21, 22, 23, 24, 25, 26, 27, 28, 29, 30, 31, 33, 34, 35, 36, 37, 38, 39, 40, 41, 42, 43, 44, 45, 46, 47, 48, 49, 50, 51, 52, 54, 55, 56, 57, 58, 59, 60, 61, 62, 63, 64
62	1, 2, 3, 4, 5, 6, 7, 8, 9, 10, 11, 12, 13, 14, 16, 17, 18, 19, 20, 21, 22, 23, 24, 25, 26, 27, 28, 29, 30, 31, 32, 33, 34, 35, 36, 37, 38, 39, 40, 41, 42, 43, 44, 45, 46, 47, 49, 50, 51, 52, 53, 54, 55, 56, 57, 58, 59, 60, 61, 62, 63, 64
63	1, 2, 3, 4, 5, 6, 7, 8, 9, 10, 11, 12, 13, 14, 15, 16, 17, 18, 19, 20, 21, 22, 23, 24, 25, 26, 27, 28, 29, 30, 31, 33, 34, 35, 36, 37, 38, 39, 40, 41, 42, 43, 44, 45, 46, 47, 48, 49, 50, 51, 52, 53, 54, 55, 56, 57, 58, 59, 60, 61, 62, 63, 64
64	1, 2, 3, 4, 5, 6, 7, 8, 9, 10, 11, 12, 13, 14, 15, 16, 17, 18, 19, 20, 21, 22, 23, 24, 25, 26, 27, 28, 29, 30, 31, 32, 33, 34, 35, 36, 37, 38, 39, 40, 41, 42, 43, 44, 45, 46, 47, 48, 49, 50, 51, 52, 53, 54, 55, 56, 57, 58, 59, 60, 61, 62, 63, 64

从表 6 中可以看出，在复帧中所要增加计数值来获取 t_s 的小数部分的分辨率的单帧，在复帧中尽可能均匀地分布。

采用多帧方法与采用较低的帧频率来获取较高分辨率相比具有明显的优势，这是因为前者在增加分辨率的同时，复帧中仅仅出现极小的扰动；这意味着与采用降低单帧的频率来产生 PWM 信号相比，采用复帧方法引起的暂态功率偏移相对更小一些。从而本发明所设计的衰减器 200 不仅提高了分辨率，而且还提供了与 PWM 信号控制有关的功率效率，以及仍然使 FPGA240 工作在 40MHz 的便利频率之下。

显然，可以对衰减器 200 和 PWM 电路进行修改而不会背离本发明的范围。尽管图 4 图示了具有稳定衰减辐射 P_0 的辐射功率的局部负反馈回路的 FPGA240 对于 FPGA240 来说，可以从其他电路接收控制信号，比如检测器电路，还可以从通信系统中的衰减器 200 的下游位置接收控制信号，只不过采用上文所述的用在 PWM 驱动信号中的多帧技术来控制热电元件。此外，上文说明的复帧包含 64 个单帧，复帧也完全可以包含其他数量的单帧，比如单帧数目的范围可以从 2 到 1000，具体取决于分辨率要求。还有，尽管上述 FPGA240 的时钟频率是 40MHz，它也可以发出不小于 30MHz 的时钟频率，只要滤波器作相应的调整。

此外，尽管 PWM 电路是用于控制光通信系统中的元件，有关设备和方法也可以应用在其他 PWM 电流控制领域，比如在电机系统，机械伺服系统，机器人系统，等等。



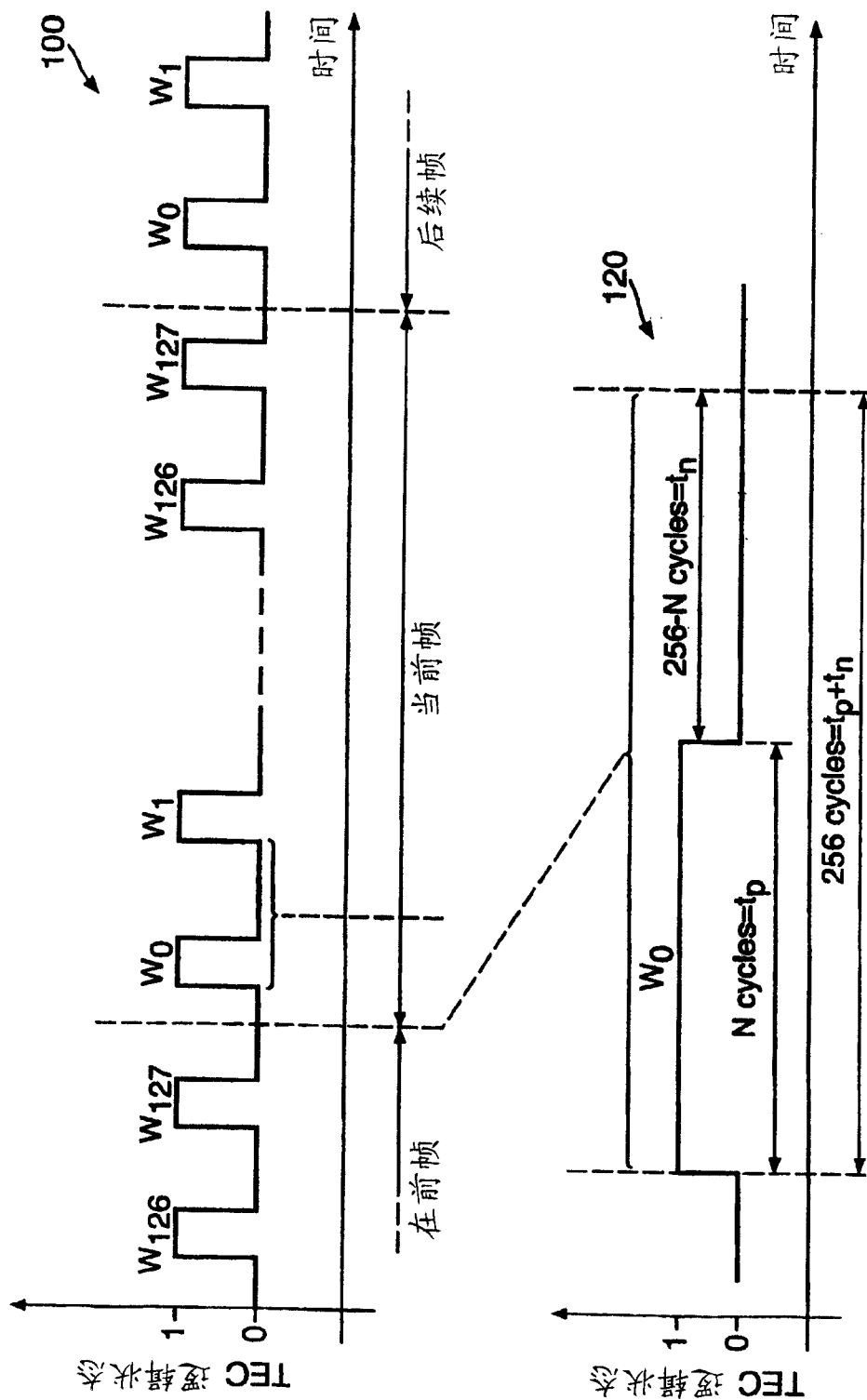


图 2

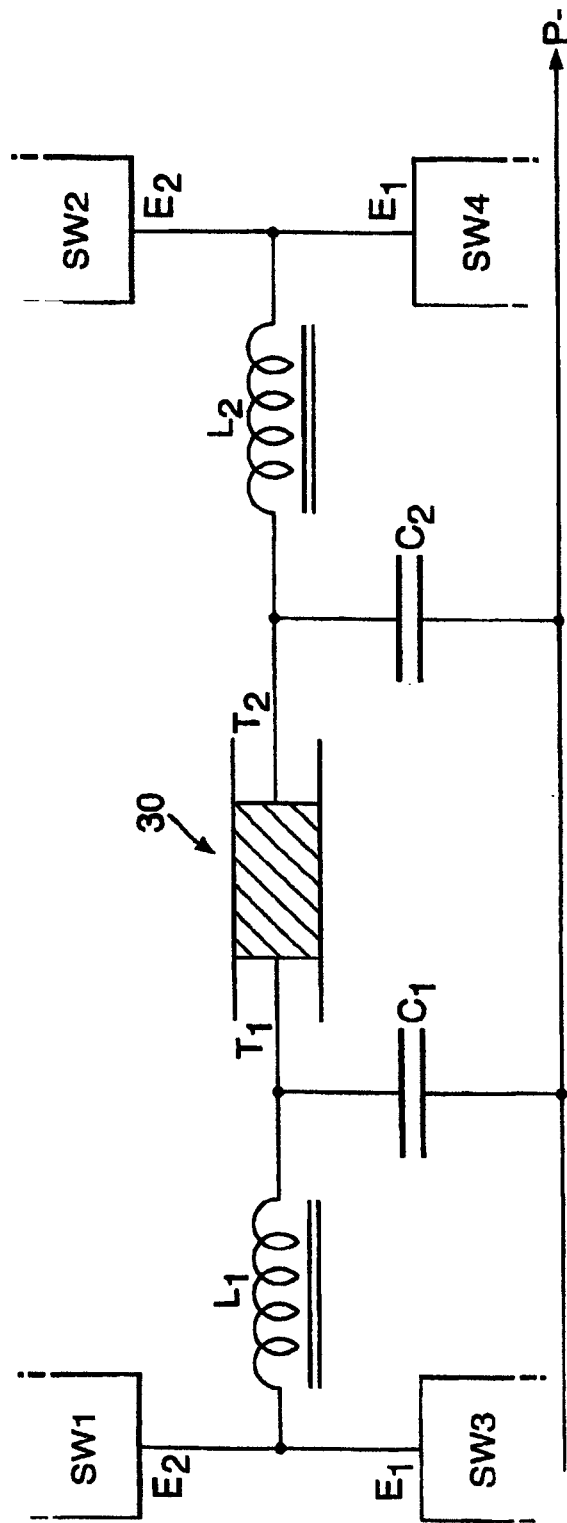


图 3

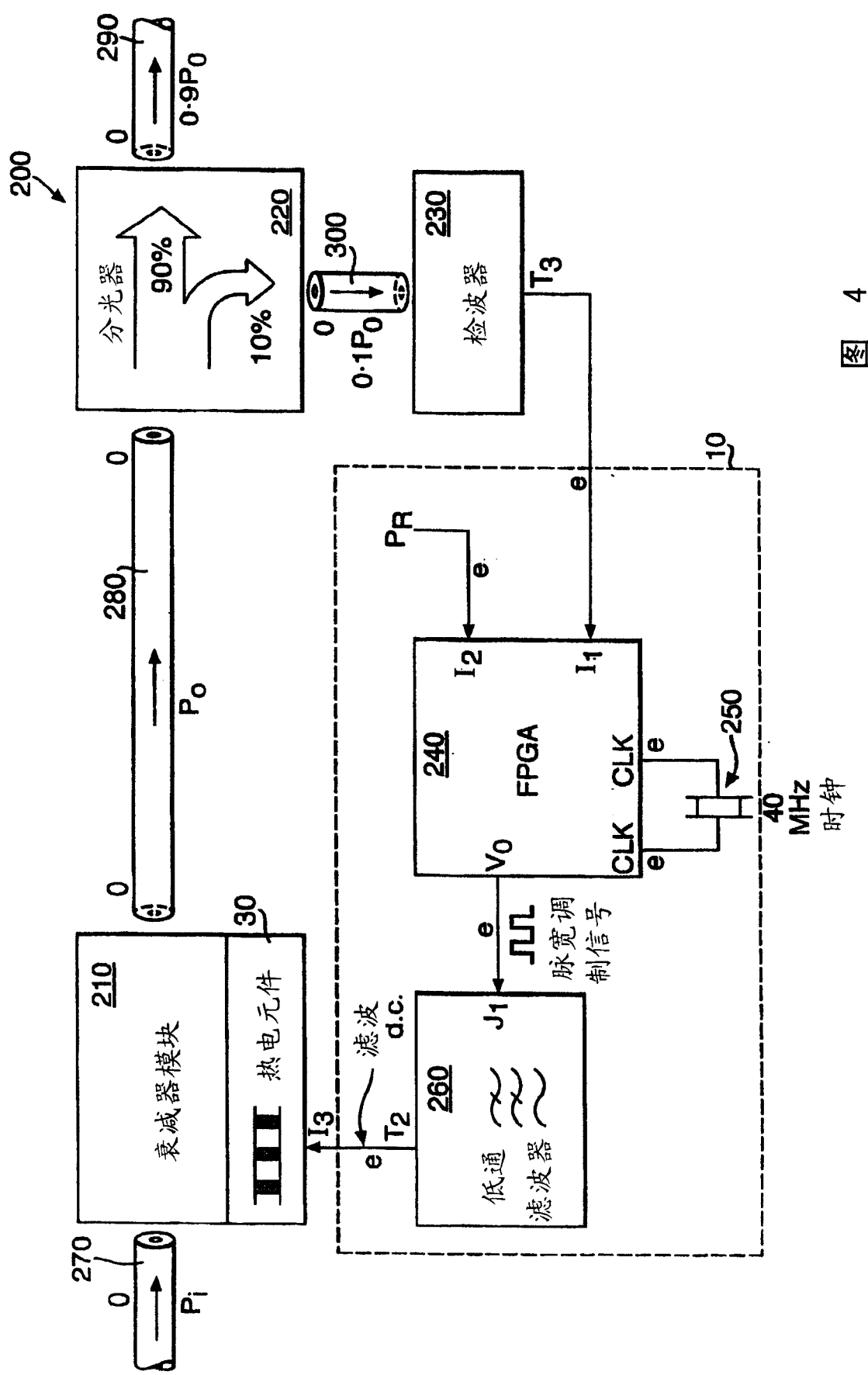


图 4

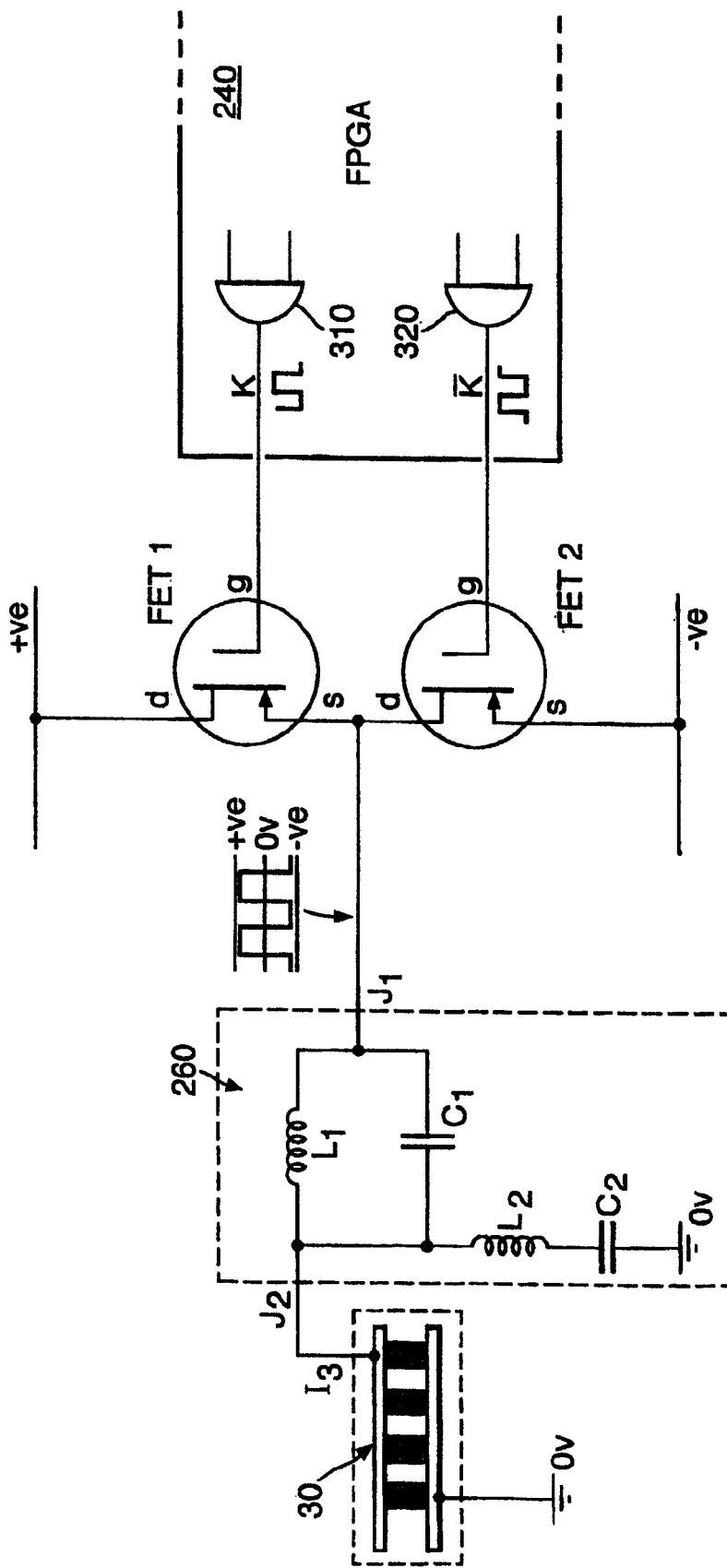


图 5

